

# 会议基本信息

## 注册

6月27日 10:00~20:00: 会议现场注册地点在“上海锦江白玉兰宾馆”大厅（上海市四平路1251号）。已预付费的参会人员请前往领取会议资料和会议费发票。未预付费的参会人员请现场付费，接受各类信用卡刷卡和现金支付方式。宾馆住宿按预订（已付费）的房间直接去相关宾馆前台登记房间，宾馆已保存预订的姓名、到达和离开日期。已付住宿费的参会人员在宾馆登记时，可能要支付房卡押金。未预订宾馆房间的参会人员请自行前往相关宾馆联系住宿，会议不承担现场预订房间工作。

6月28日 7:30~11:30: 会议现场注册地点在“129礼堂”（大会邀请报告会场）。接受办理已预付费和现场付费的各类注册。

6月28日 11:30~17:30、6月29日 8:30~17:30: 会议现场注册地点在“逸夫楼”大厅，接受办理已预付费和现场付费的各类注册。

**现场注册费：**会议代表800元，学生代表400元，陪同人员400元。费用包括：会议资料，会场租用，工作午餐（28~30日），自助晚餐（29~30日），会议宴请（28日晚），茶歇（28~30日）；不包括：全部早餐（已含在住宿中），6月27日和7月1日全部餐费，住宿费，交通费，世博园参观费等。

## 会议地点

会议地点分别在“129礼堂”、“逸夫楼”、“中法中心”，具体位置见附图。会议地点及专题分布见下页表格。

## 交通

会议地点（同济大学四平路校区）和两个指定宾馆（上海锦江白玉兰宾馆、同济戴斯大酒店）都在5分钟步行路程范围内。从虹桥国际机场、浦东国际机场、上海火车站、上海南站等交通枢纽均有多种交通方式到达。附图提供了几种到达会议地点的交通方案及其费用，供参会人员参考。

**注意：**会议不提供接站服务。若确实需要接站，请事先联系会议秘书。

## 口头和展板报告

大会邀请报告：每个报告 30 分钟，包括 25 分钟演讲和 5 分钟答疑。请提前一天将 PPT 文件拷贝至会议注册处或会场的专用计算机内。

专题口头报告：每个报告 20 分钟，包括 15 分钟演讲和 5 分钟答疑。请提前一天将 PPT 文件拷贝至会议注册处或会场的专用计算机内。

专题展板报告：全部展板于 28 日上午 7:30 起自行粘贴至展板区（中法中心负一层展厅）指定位置，注意摘要的编号与展板的编号对应。按“会议日程”指定的展板报告时间（每个专题展板指定 1 小时）等候在展板前，参与相关讨论和交流。全部展板于 30 日下午 17:30 撤离。

“优秀学生展板”评选：会议学术委员会和专题召集人将评选出“优秀学生展板”，并在 6 月 30 日下午的“大会讨论”会议议程中颁奖。评选基本要求：在指定的展板时间内等候在展板前参与讨论，出席全程会议（包括颁奖仪式）。

### 会议地点及专题分布

|             | 6 月 27 日        | 6 月 28 日                    | 6 月 29 日                         | 6 月 30 日                 | 7 月 1 日 |
|-------------|-----------------|-----------------------------|----------------------------------|--------------------------|---------|
| 8:30-10:00  |                 |                             | 专题一报告<br>(逸夫楼一层)                 | 专题二报告<br>(逸夫楼二层)         |         |
| 10:00-11:40 |                 | 大会邀请报告<br>(129 礼堂)          | 专题四报告<br>(中法中心二层)                | 专题七报告<br>(逸夫楼一层)         |         |
| 11:40-13:00 |                 | 午餐<br>(学苑饮食广场)              | 午餐<br>(学苑饮食广场)                   | 午餐<br>(学苑饮食广场)           |         |
| 13:30-15:30 | 现场注册<br>(白玉兰宾馆) | 专题三报告<br>(逸夫楼一层)            | 大会邀请报告<br>(129 礼堂)               | 专题二、八展板<br>(13:30-14:30) | 世博会参观   |
| 15:30-17:30 |                 | 专题六报告<br>(逸夫楼二层)            |                                  |                          |         |
|             |                 | 专题九报告<br>(中法中心二层)           | 专题四、五展板<br>(15:30-16:30)         | 大会讨论<br>(逸夫楼一层)          |         |
|             |                 | 专题三、六、九展<br>板 (15:30-16:30) | 专题七展板<br>(16:30-17:30)           | 大会讨论<br>(14:30-16:30)    |         |
| 15:30-17:30 |                 | 专题一展板<br>(16:30-17:30)      | 深海科普馆和实<br>验室参观<br>(15:30-17:30) |                          |         |
| 15:30-19:30 |                 | 宴会<br>(白玉兰宾馆)               | 晚餐<br>(学苑饮食广场)                   | 晚餐<br>(学苑饮食广场)           |         |
| 20:00-21:00 | 筹备会议            |                             |                                  |                          |         |

## 会议就餐

会议的工作午餐（28~30日）和自助晚餐（29~30日）安排在“学苑饮食广场”，凭餐券就餐（现场注册时领取）。由于就餐时间集中，预计将出现排队情况，请大家积极配合。

**注意：**6月27日和7月1日不提供就餐服务，请自行安排。

## 会议宴请

会议于28日晚18:00在“上海锦江白玉兰宾馆”宴请参会专家及陪同人员，凭餐券上指定的地点就餐（现场注册时领取）。

## 会间参观活动

同济大学“深海科普馆”和“海洋地质国家重点实验室”参观安排在29日下午15:30~17:30，按附图指向自行前往“海洋楼”参观。届时将有专人接待和解说，凭“会议名牌”可获得一份精美礼品。

## 会后世博园参观

上海世博园参观安排在7月1日。价格：180元/人，费用包含：团体票价，去程巴士，“中国馆”参观导游解说；不包括：餐费、返程路费等。参观行程：上午集体前往世博园，集体参观“中国馆”（需排队），大致中午前后解散自由活动，并自行返回。请已预订付费的参会人员按指定的时间和地点上车前往（另行通知）。  
**注意：**参观行程根据世博局管理可能有所变动，以会议期间通知为准。

## 专题设置及召集人

会议共设置九个专题，涉及“气候环境的周期与事件”、“海洋与碳循环”、“地球深部过程”、“矿产资源与深海过程”、以及“海洋新技术”等主题。具体专题及召集人如下：

| 专题            | 召集人 | 单位                |
|---------------|-----|-------------------|
| 一、冰期旋回及其驱动    | 翦知潜 | 同济大学              |
|               | 孙 波 | 中国极地研究中心          |
|               | 张启锐 | 中科院地质与地球物理研究所     |
| 二、生命与环境的演变过程  | 王成善 | 中国地质大学（北京）        |
|               | 董海良 | 美国迈阿密大学           |
| 三、海洋与碳循环      | 余克服 | 中科院南海海洋研究所        |
|               | 蔡卫君 | 美国佐治亚大学           |
|               | 戴民汉 | 厦门大学              |
| 四、微型生物与深海碳循环  | 焦念志 | 厦门大学              |
|               | 张传伦 | 同济大学              |
|               | 储雪蕾 | 中科院地质与地球物理研究所     |
| 五、俯冲带与地壳      | 蒋少涌 | 南京大学              |
|               | 陈永顺 | 北京大学              |
| 六、地幔上涌与高原玄武岩  | 徐义刚 | 中科院广州地球化学研究所      |
|               | 赵西西 | 美国加州大学圣克鲁兹分校      |
| 七、深海沉积与油气     | 刘志飞 | 同济大学              |
|               | 田纪伟 | 中国海洋大学            |
|               | 庞 雄 | 中海石油(中国)有限公司深圳分公司 |
| 八、深海热液与天然气水合物 | 侯增谦 | 中国地质科学院地质研究所      |
|               | 周怀阳 | 同济大学              |
|               | 吴能友 | 中科院广州能源研究所        |
| 九、海洋新技术的应用    | 宋海斌 | 中科院地质与地球物理研究所     |
|               | 王东晓 | 中科院南海海洋研究所        |

# 会议日程

| 6月28日 上午                   |             |   |
|----------------------------|-------------|---|
| 开幕式 8:30-8:40 主持人：孙枢       |             | 129礼堂   |
|                            |             |   |
| 大会邀请报告 8:40-12:00          |             | 129礼堂   |
| 主持人：孙枢                     |             |   |
| 8:40                       | 汪品先         | P-1 穿凿地球系统的时间隧道   |
| 9:10                       | 郑永飞         | P-2 发展板块构造理论：从洋壳俯冲到陆壳碰撞   |
| 9:40                       | 孙卫东         | P-3 俯冲工厂与成矿   |
| 茶歇                         |             | 10:10-10:30   |
| 主持人：秦蕴珊                    |             |   |
| 10:30                      | 林间          | P-4 深海前沿科学及新技术  |
| 11:00                      | 蔡卫君         | P-5 The role of ocean margins in global carbon cycle  |
| 11:30                      | 丁抗          | P-6 论热液的三个基本pH数值——挑战深海科学与技术的难题  |
|                            |             |   |
| 6月28日 下午                   |             |   |
| 专题口头报告 13:30-15:10         |             |   |
|                            |             |   |
| 专题三 海洋与碳循环 主持人：余克服、蔡卫君、戴民汉 |             | 逸夫楼一层报告厅  |
| 13:30                      | 戴民汉         | S3-O-1 Marginal sea/ocean carbon cycle and climate change   |
| 13:50                      | 韦刚健         | S3-O-2 表层海水pH的变化与海洋酸化   |
| 14:10                      | 袁翔城         | S3-O-3 Bacterial activities in relation to carbon cycling in the coastal waters near the Pearl River estuary  |
| 14:30                      | 熊志方         | S3-O-4 热带西太平洋硅藻席“碳汇”角色评价  |
| 14:50                      | 唐丹玲         | S3-O-5 台风，浮游植物与碳循环  |
|                            |             |   |
| 专题六 地幔上涌与高原玄武岩 主持人：徐义刚、赵西西 |             | 逸夫楼二层报告厅  |
| 13:30                      | 徐义刚         | S6-O-1 地幔柱构造，大火成岩省和地表系统演变   |
| 13:50                      | 赵太平         | S6-O-2 西南印度洋超慢速扩张洋脊玄武岩的地球化学特征及其对地幔源区性质和岩浆演化过程的制约  |
| 14:10                      | 张国良         | S6-O-3 东太平洋海隆下部的岩浆形成和演化：铀系同位素和熔体包裹体制约   |
| 14:30                      | 朱炳泉         | S6-O-4 全球DUPAL与NHRL同位素体系判析及其重要理论与现实意义   |
| 14:50                      | 赵西西         | S6-O-5 Towards understanding the geologic anomalies in mid-Cretaceous--clues from paleomagnetic investigations of submarine large igneous provinces |
|                            |             |   |
| 专题九 海洋新技术的应用 主持人：宋海斌、王东晓   |             | 中法中心二层报告厅   |
| 13:30                      | 王东晓         | S9-O-1 Distributed network of environmental monitoring in the South China Sea and its technical outline   |
| 13:50                      | 宋海斌         | S9-O-2 地震海洋学—深海研究的前沿科学与技术   |
| 14:10                      | 杨群慧         | S9-O-3 海洋生物地球化学原位探测技术研究进展   |
| 14:30                      | 董崇志         | S9-O-4 海水温盐结构反演的地震海洋学研究   |
| 14:50                      | 贾永刚         | S9-O-5 海床面蚀积过程原位实时监测系统  |
|                            |             |   |
| 专题展板                       | 15:10-17:30 | 中法中心负一层展厅   |

|  |     |  |           |
|--|-----|--|-----------|
| 茶歇   |     | 15:10-15:40  | 中法中心负一层展厅 |
| <b>专题三 海洋与碳循环 15:30-16:30 主持人：余克服、蔡卫君、戴民汉</b>  |     |  |           |
| S3-P-1   | 刘焰  | 藏南火成碳酸岩：新生代全球深部碳循环研究的一个实例  |           |
| S3-P-2S  | 于严严 | 史前土地利用碳循环模型构建及应用—以伊洛河流域为例  |           |
| S3-P-3S  | 刘杰  | 南海北部海域表层水浮游植物特征生物标志物分布特征及影响因素  |           |
| S3-P-4   | 匡耀求 | 论CCD界面升降对沉积物—海水—大气之间碳循环的影响   |           |
| S3-P-5   | 蔡进功 | 粘土矿物的属性对有机质保存的影响与碳循环的意义  |           |
| S3-P-6S  | 刘喜停 | 铁元素对浅水碳酸盐沉积物保存的影响  |           |
| S3-P-7S  | 安佰正 | 南海今生颗石藻分布研究  |           |
| S3-P-8   | 吴海斌 | A coupled two-dimensional hydrodynamic and terrigenous input model to simulate CO <sub>2</sub> diffusive emissions from lake systems |           |
| S3-P-9S  | 董良  | 西太平洋表层海水中浮游植物分布的区域特征——分子有机地球化学初步研究   |           |
| S3-P-10S                                       | 苏翔  | 颗石藻记录对大洋碳同位素低值事件的响应  |           |
| S3-P-11  | 余克服 | 全新世南海珊瑚礁碳酸盐生产的周期性与碳循环  |           |
| <b>专题六 地幔上涌与高原玄武岩 15:30-16:30 主持人：徐义刚、赵西西</b>  |     |  |           |
| S6-P-1   | 孙珍  | 岩浆供应量控制了超慢速洋中脊裂谷的发育：以西南印度洋9-25度为例  |           |
| S6-P-2   | 李三忠 | 西北太平洋Shatsky海隆节理特征及其意义—IODP 324航次构造成果  |           |
| S6-P-4   | 孙广丽 | 地球膨胀动力与地幔上涌和高原玄武岩形成  |           |
| S6-P-5S  | 徐子英 | 岩浆活动对反转构造发育控制作用的物理模拟   |           |
| S6-P-6   | 张骏  | Experimental attempts to simulate large-scale continental dynamics   |           |
| <b>专题九 海洋新技术的应用 15:30-16:30 主持人：宋海斌、王东晓</b>    |     |  |           |
| S9-P-1S  | 拜阳  | 南海东北部海洋内波的反射地震研究   |           |
| S9-P-2S  | 黄兴辉 | 南海涡旋的地震海洋学初探   |           |
| S9-P-3   | 李波  | 光释光测年技术在第四纪海洋沉积物研究领域的应用  |           |
| S9-P-4S  | 李风光 | Acoustic velocity measurements during methane hydrate formation in the sediment  |           |
| S9-P-5S  | 杨小秋 | 海底沉积物原位热导率测量探头结构与数据处理方法  |           |
| S9-P-6   | 张艳伟 | 东海近岸底边界层不同时间尺度内的动力变化特征   |           |
| <b>专题一 冰期旋回及其驱动 16:30-17:30 主持人：翦知潜、孙波、张启锐</b> |     |  |           |
| S1-P-1   | 葛俊逸 | 西秦岭山间晚新近纪风尘堆积的磁性地层及其构造、气候指示意义  |           |
| S1-P-2   | 郝青振 | 22 Ma以来我国北方风尘沉积中的赤铁矿和针铁矿变化：磁学和漫反射光谱证据  |           |
| S1-P-3   | 刘连文 | 晚新生代东亚季风演化历史及其对全球碳循环与气候变化的影响   |           |
| S1-P-4   | 邵兆刚 | 青藏高原隆升气候环境效应特征讨论   |           |
| S1-P-5S  | 陈双喜 | 西北太平洋黑潮源区浮游有孔虫的 $\delta^{13}\text{C}$ 宽幅低值事件   |           |
| S1-P-6S  | 仇晓华 | 西菲律宾海150 ka BP以来的有孔虫稳定同位素记录及其古环境意义   |           |
| S1-P-7   | 丁旋  | 赤道西太平洋MD98-2182岩芯末次冰期以来的季风和厄尔尼诺事件记录  |           |
| S1-P-8   | 葛淑兰 | 鄂霍次克海南部倒数第二冰期时强劲水动力  |           |
| S1-P-9   | 顾兆峰 | 气候周期性与东海陆架第四系地层层序  |           |
| S1-P-10  | 贺娟  | MD05-2904 $\delta^{18}\text{O}$ <i>G. ruber</i> ——季风型氧同位素曲线  |           |
| S1-P-11S                                       | 贺子丁 | 南海西部晚第四纪（MD05-2899孔）XRF岩芯元素扫描结果的初步分析   |           |
| S1-P-12  | 黄宝琦 | 深海氧同位素3期南海西部上层水体结构变化   |           |
| S1-P-13  | 李丽  | 南海南部4 Ma高分辨率古温度变化及其古气候意义   |           |
| S1-P-14  | 李小艳 | 南海北部晚更新世以来的古海洋环境演化特征   |           |
| S1-P-15  | 刘传联 | 南海晚第四纪颗石藻化石记录与古海洋学意义   |           |

|   |     |  |
|---|-----|--|
| S1-P-16S  | 罗祎  | 南海北部DSH-1C柱状样晚更新世以来沉积物磁性特征及其环境意义   |
| S1-P-17   | 罗运利 | 1.8-0.7 Ma BP时段南海北部周边地区植被演替  |
| S1-P-18   | 南青云 | 东亚地区8.5 ka BP以来雨带南北迁徙记录  |
| S1-P-19   | 苏瑞侠 | 中全新世以来南海北部珊瑚氧同位素记录的亚洲季风气候变率演化  |
| S1-P-20S  | 孙晗杰 | 西菲律宾海1 Ma年以来碳长周期变化   |
| S1-P-22S  | 王中波 | 东海陆架末次间冰期以来层序地层与古环境  |
| S1-P-23S  | 吴家望 | 赤道西太平洋晚第四纪粘土矿物记录：翁通—爪哇海台97321-2孔初步研究成果   |
| S1-P-26S  | 杨海源 | 中尺度海—气—浪耦合模式在大时间尺度上的应用初探   |
| S1-P-27   | 姚政权 | 日本海末次冰期千年尺度古环境变化的地球化学记录  |
| S1-P-28S  | 易亮  | 东亚季风控制的渤海南部250 ka以来的环境特征   |
| S1-P-29   | 余俊清 | 青藏高原北部MIS 3以来气候与环境演变：进展、问题与思考  |
| S1-P-30S  | 赵悦  | 苏门答腊海区晚更新世以来的季风上升流活动记录   |
| S1-P-31   | 唐学远 | 东南极冰盖Dome A的浅层古积累率重建   |
| S1-P-32   | 王汝建 | 西北冰洋楚科奇深海平原晚第四纪的古海洋与古气候记录  |
| S1-P-33   | 吴怀春 | Preliminary cyclostratigraphy results for Unit III, Hole C0011B (IODP Expedition 322) at Shikoku Basin and its implication for age model |
| S1-P-34   | 李时雨 | Atmospheric teleconnections of Northern Hemisphere cooling to the Southern Hemisphere midlatitudes                                       |
| S1-P-35S  | 褚智慧 | 末次盛冰期以来苏拉威西海面上层海水对快速气候变化的响应  |
| S1-P-36   | 周斌  | 东亚季风区40万年来植被演化海陆记录的对比研究  |
| S1-P-37   | 拓守廷 | 新生代南极冰盖演化历史：IODP 318航次   |
| S1-P-38S  | 万随  | 赤道西太平洋冬季活体浮游有孔虫生态分布与壳体同位素特征  |
| <b>6月29日 上午</b>                                 |     |  |
| <b>专题口头报告</b>                                   |     | <b>8:30-11:40</b>  |
| <b>专题一 冰期旋回及其驱动 主持人：翦知潜、孙波、张启锐 逸夫楼一层报告厅</b>     |     |  |
| 8:30  | 温家洪 | S1-O-1 南极冰盖冰量变化与全球变化   |
| 8:50  | 孙波  | S1-O-2 南极冰盖的起源与演化  |
| 9:10  | 张启锐 | S1-O-3 关于新元古代全球冰川作用的驱动问题   |
| 9:30  | 田军  | S1-O-4 新生代冰盖形成期的古海洋变化  |
| 茶歇  |     | 9:50-10:20   |
| 10:20   | 郭正堂 | S1-O-5 两极冰盖演化对亚洲季风环境的影响  |
| 10:40   | 俞永强 | S1-O-6 现代热带太平洋和印度洋海气相互作用在全球气候变化中的作用：观测和数值模拟  |
| 11:00   | 管玉平 | S1-O-7 垂向混合与大洋深海热盐环流   |
| 11:20   | 翦知潜 | S1-O-8 气候演变的冰盖驱动和热带驱动  |
| <b>专题四 微型生物与深海碳循环 主持人：焦念志、张传伦、储雪蕾 中法中心二层报告厅</b> |     |  |
| 8:30  | 周集中 | S4-O-1 GeoChip: a high throughput metagenomics technology for characterizing microbial functional community structure                    |
| 8:50  | 林森杰 | S4-O-2 Molecular insights of N fixation in the deep sea  |
| 9:10  | 汪光义 | S4-O-3 Ocean carbon cycling and novel diversity of marine mycoplankton   |
| 9:30  | 张玉忠 | S4-O-4 深海适冷细菌的多样性、重要生命过程的生理与生化机制与生态适应  |
| 茶歇  |     | 9:50-10:20   |
| 10:20   | 方家松 | S4-O-5 The role of piezophiles in global ocean carbon cycle  |
| 10:40   | 王风平 | S4-O-6 深海冷泉区甲烷循环与氮循环关系的探讨  |



|  |     |   |
|--|-----|---|
| 11:00                                      | 顾继东 | S4-O-7 16S rRNA and hzo genes analyses reveal a high diversity of Candidatus Scalindua anammox bacterial community in the deep-ocean subsurface sediment of South China Sea |
| 11:20                                      | 李超  | S4-O-8 埃迪卡拉期海洋化学结构的独特性及其在早期动物演化中的角色   |
| 专题五 俯冲带与地壳 主持人：蒋少涌、陈永顺 逸夫楼二层报告厅            |     |   |
| 8:30                                       | 黄奇瑜 | S5-O-1 Cenozoic Tectonic evolution of Taiwan from Paleogene continental rifting to Neogene subduction, collision and exhumation   |
| 8:50                                       | 姚伯初 | S5-O-2 南海岩石圈厚度及其构造意义  |
| 9:10                                       | 李毅兵 | S5-O-3 The petrogenesis of boninite and high Mg adakite   |
| 9:30                                       | 张立飞 | S5-O-4 大洋地壳深俯冲超高压变质作用及其研究意义   |
| 茶歇   |     | 9:50-10:20  |
| 10:20                                      | 李春峰 | S5-O-5 地球物理反演分析日本南海海槽俯冲带深部结构  |
| 10:40                                      | 赵明辉 | S5-O-6 南海北部陆缘下地壳高速层的识别及研究意义   |
| 11:00                                      | 杨挺  | S5-O-7 源端地震层析成像方法及其在吕宋岛深部结构成像中的应用   |
| 11:20                                      | 张训华 | S5-O-8 中国大地构造与块体构造学说  |
| 6月29日 下午                                   |     |   |
| 大会邀请报告 13:30-15:30 主持人：林间 129礼堂            |     |   |
| 13:30                                      | 殷鸿福 | P-7 生物演化及其对人类的启示  |
| 14:00                                      | 焦念志 | P-8 微型生物碳泵与海洋储碳——海洋对气候调节的微观过程与宏观效应  |
| 14:30                                      | 刘祖乾 | P-9 从最高之处到最低之处：南海边缘一个河—海输运系统的介绍   |
| 15:00                                      | 刘保华 | P-10 我国深海探测技术发展现状及展望  |
| 专题展板 15:30-17:30 中法中心负一层展厅                 |     |   |
| 茶歇   |     | 15:30-16:00 中法中心负一层展厅   |
| 专题四 微型生物与深海碳循环 15:30-16:30 主持人：焦念志、张传伦、储雪蕾 |     |   |
| S4-P-1                                     | 储雪蕾 | 元古宙古海洋碳、硫循环的几个问题  |
| S4-P-2S                                    | 韦恒叶 | 非硫化环境中成岩黄铁矿粒径分布特征及其对水体氧化还原条件的指示意义：中上扬子区鄂西台间盆地栖霞组下部（二叠系）暗色碳酸盐沉积黄铁矿的研究  |
| S4-P-3                                     | 党宏月 | 深海冷泉碳—氮耦合生物地球化学循环微生物过程  |
| S4-P-4                                     | 管红香 | 墨西哥湾北陆坡AC区冷泉碳酸盐岩中生物标志化合物及碳同位素特征   |
| S4-P-5                                     | 董海良 | Impacts of environmental change and human activity on microbial ecosystems on the Tibetan Plateau, NW China   |
| S4-P-6                                     | 孟君  | 常温异养古菌MCG的生理遗传特征  |
| S4-P-7                                     | 孙晓霞 | 赤道太平洋东部水体中重晶石颗粒特征、垂向分布及成因探讨   |
| S4-P-8                                     | 汤凯  | Phylogenomic analysis reveals widespread horizontal gene transfer in marine Roseobacter and its consequences in relation to phytoplankton                                   |
| S4-P-9                                     | 王鹏  | 南海深海沉积物古菌群落调查   |
| S4-P-10S                                   | 魏玉利 | Archaeal diversity associated with methane-rich sediments in the South China Sea  |
| S4-P-11                                    | 肖湘  | The first obligate piezophilic hyperthermophilic archaea Pyrococcus yayanossi CH1: a living fossil of early life?   |
| S4-P-12                                    | 张传伦 | Ecological and geochemical functions of archaea in space and time   |
| S4-P-13                                    | 张瑶  | 深海细菌、古菌的代谢活性及对碳储库的贡献  |
| S4-P-14S                                   | 郑强  | 好氧不产氧光合细菌光合超操作子和硫氧化基因簇的结构分析   |
| S4-P-15S                                   | 宗睿  | Phototrophy and carbon metabolic profile of marine roseobacter  |
| S4-P-16                                    | 邵宗泽 | Diversity of petroleum hydrocarbon-degrading bacteria in open sea   |



| 专题五 俯冲带与地壳 15:30-16:30 主持人：蒋少涌、陈永顺     |     |  |
|--|-----|--|
| S5-P-1                                 | 陈志耕 | 地震成因理论与震源机制不一致问题及其地震预报意义   |
| S5-P-2                                 | 姜涛  | 10万年以来南海海槽重力流沉积特征及其对大地震活动频率的制约   |
| S5-P-3                                 | 吴振利 | 深海地壳结构探测在南海西北次海盆的应用  |
| S5-P-4                                 | 徐纪人 | 日本南海海槽地震活动及区域地球深部过程  |
| S5-P-6S                                | 杨阳  | 南海周边新生代火山岩铂族元素地球化学：硅酸盐分异和硫化物熔离作用   |
| S5-P-7S                                | 张云帆 | 南海北部陆缘珠江口盆地地壳拉张特征的模拟研究   |
| S5-P-8                                 | 赵文俊 | 南岛1605年7.5级地震的深部构造环境和成因探讨  |
| S5-P-9                                 | 郑洪伟 | 台湾海峡地区岩石圈三维结构层析成像研究  |
| S5-P-10S                               | 廖杰  | 南海北部陆缘珠江口盆地裂后异常沉降的数值模拟   |
| S5-P-11                                | 马昌前 | Petrogenesis of Piemont-Ligurian oceanic plagiogranites (albitites), western Alps: geological evidence for partial melting of oceanic crust during detachments |
| S5-P-12                                | 张彦  | 西金乌兰—金沙江缝合带板块俯冲时限研究  |
| S5-P-13                                | 程昊  | The Triassic age for oceanic eclogites in the Dabie orogen: entrainment of oceanic fragments in the continental subduction                                     |
| 专题七 深海沉积与油气 16:30-17:30 主持人：刘志飞、田纪伟、庞雄 |     |  |
| S7-P-1                                 | 何幼斌 | 宁夏香山群徐家圈组内波、内潮汐沉积  |
| S7-P-2S                                | 吴琼  | 南海末次冰盛期以来深水洋流演化：Fe-Mn氧化物分析的初步成果  |
| S7-P-3                                 | 范代读 | 深海沉积物输运与沉积作用研究进展   |
| S7-P-5                                 | 蔡观强 | 南海西南海域表层沉积物中微量元素Ba的地球化学特征  |
| S7-P-6                                 | 李祥权 | The deep-water deposition in Northwest South China Sea   |
| S7-P-7S                                | 李夏晶 | 南海北部末次冰期旋回以来高分辨率粘土矿物组合及其搬运沉积作用   |
| S7-P-8S                                | 王浩  | 马来半岛、苏门答腊岛和婆罗洲河流表层沉积物的粘土矿物和元素地球化学记录  |
| S7-P-9                                 | 傅强  | 苏北与南黄海盆地上白垩统一第三系沉积体系演化对比研究   |
| S7-P-10                                | 龚承林 | 南海北部白云陆坡深水区单向迁移深水水道的样式及侵蚀—充填过程   |
| S7-P-12                                | 王昌勇 | 珠江口盆地荔湾地区珠江组深水扇沉积特征  |
| S7-P-14S                               | 谢蕾  | 南海北部神狐—东沙海域柱状样沉积物中自生矿物初步研究--以自生黄铁矿和石膏为例  |
| S7-P-16                                | 杨守业 | 晚第四纪冲绳海槽沉积演化与陆海相互作用  |
| S7-P-18                                | 李胜利 | 深水扇相控储层建模研究—以白云凹陷荔湾地区为例  |
| S7-P-19S                               | 李云  | 珠江口盆地白云凹陷荔湾3-1气田珠江组深水扇岩相分析   |
| S7-P-20                                | 柳保军 | 南海北部珠江口盆地白云深水区沉积充填及油气勘探意义  |
| S7-P-21                                | 鲁银涛 | 西沙周缘深水沉积盆地演化及油气勘探潜力  |
| S7-P-22S                               | 苏明  | 琼东南盆地裂后期S40界面特征及其地质意义  |
| S7-P-23                                | 许红  | 中国南海深水盆地油气勘探碳酸盐岩储层研究及特征  |
| S7-P-24                                | 颜承志 | 南海北部深水勘探遇到的挑战与应对的物探方法  |
| S7-P-25                                | 邹大鹏 | 温度变化下南海海底沉积物的二种声速类型  |
| S7-P-26                                | 李双应 | 扬子盆地中二叠世深水碳酸盐沉积与油气资源   |
| S7-P-27                                | 柳益群 | 裂谷盆地地幔热液对成岩与油气生成的控制——以三塘湖盆地石炭-二叠系为例  |
| S7-P-28                                | 张顺  | 松辽盆地大庆长垣地区嫩江组二段滑塌扇的发现及其石油地质意义  |
| S7-P-29                                | 郑朝阳 | 中国下古生界海相油气地球化学特征及其油藏成因研究   |
| S7-P-30S                               | 朱伟  | 孔隙结构动力学及其在优质储层研究中的应用   |
| S7-P-31                                | 朱克超 | 基于西太平洋麦哲伦海山区的富钴结壳初步成矿模型  |
| S7-P-32S                               | 李士涛 | 下刚果盆地多边形断层研究及其油气意义   |
| S7-P-33                                | 赵志新 | 高精度3D地震层析成像与海底资源勘探   |
| S7-P-34                                | 张卫国 | 基于磁性特征的长江泥沙示踪研究  |
| S7-P-35                                | 吴昌荣 | 南海北部陆坡大型沉积物波的发现  |

|         |     |                                      |
|---------|-----|--------------------------------------|
| S7-P-36 | 钟广法 | ODP1144孔区深水沉积物波的特征及成因探讨              |
| S7-P-37 | 刘敬圃 | 世界河流入海搬运的宿命以及物理、生物地球化学指示意义           |
| S7-P-38 | 郑卓  | 末次盛冰期的海平面大幅度下降和陆架出露使全球海岸带大部分区域沉积记录缺失 |

6月30日 上午

专题口头报告 8:30-11:40

专题二 生命与环境的演变过程 主持人：王成善、董海良 逸夫楼二层报告厅

|       |     |  |
|-------|-----|--|
| 8:30  | 黄晶  | S2-O-1 三峡地区陡山沱组沉积物的物源限制：一种对早期动物演化的巨大刺激   |
| 8:50  | 黄燕  | S2-O-2S 湖南张家界早寒武世牛蹄塘组镍钼矿层的生物标志化合物特征  |
| 9:10  | 陈代钊 | S2-O-3 Large sulfur isotopic perturbations and oceanic changes during the Frasnian-Famennian transition of the Late Devonian |
| 9:30  | 王成善 | S2-O-4 White, black and red Cretaceous oceans  |
| 茶歇    |     | 9:50-10:20   |
| 10:20 | 胡修棉 | S2-O-5 东特提斯洋的消亡过程：藏南地质记录   |
| 10:40 | 柳蓉  | S2-O-6 抚顺盆地E/O事件的陆相响应研究  |
| 11:00 | 贾国东 | S2-O-7 中新世以来北太平洋粉尘源区C4植物逐渐减少：受温度的控制？   |
| 11:20 | 黄慰文 | S2-O-8 关于东亚早期人类进化的生态背景   |

专题七 深海沉积与油气 主持人：刘志飞、田纪伟、庞雄 逸夫楼一层报告厅

|       |     |                                  |
|-------|-----|----------------------------------|
| 8:30  | 田纪伟 | S7-O-1 太平洋与南海深层水体交换及未来南海深层环流观测   |
| 8:50  | 高振中 | S7-O-2 中国地层记录中内波、内潮汐沉积的研究现状与展望   |
| 9:10  | 刘志飞 | S7-O-3 南海细粒陆源碎屑沉积物的源区和搬运及其古环境意义  |
| 9:30  | 于兴河 | S7-O-4 大陆坡折变迁对深水重力流沉积类型与其展布的控制作用 |
| 茶歇    |     | 9:50-10:20                       |
| 10:20 | 钟广见 | S7-O-5 南海北部陆坡深水油气勘探潜力            |
| 10:40 | 庞雄  | S7-O-6 南海北部白云深水区油气勘探之基础地质        |
| 11:00 | 解习农 | S7-O-7 琼东南盆地中央峡谷体系沉积构成及其演化特征     |
| 11:20 | 吴健生 | S7-O-8 南海东北部陆坡及邻区中生界分布的综合地球物理研究  |

专题八 深海热液与天然气水合物 主持人：侯增谦、周怀阳、吴能友 中法中心二层报告厅

|       |     |                                       |
|-------|-----|---------------------------------------|
| 8:30  | 侯增谦 | S8-O-1 块状硫化物矿床古今对比研究                  |
| 8:50  | 蒋少涌 | S8-O-2 华南寒武纪早期的海底热液活动与大洋缺氧事件          |
| 9:10  | 陶春辉 | S8-O-3 西南印度洋超慢速扩张洋中脊49°-53°E段的海底热液活动  |
| 9:30  | 周怀阳 | S8-O-4 胡安·德夫卡洋脊海底热液活动研究进展             |
| 茶歇    |     | 9:50-10:20                            |
| 10:20 | 吴能友 | S8-O-5 南海北部陆坡神狐海域天然气水合物成藏系统研究         |
| 10:40 | 刘昌岭 | S8-O-6 南海神狐海域及祁连山冻土区天然气水合物样品基本特征      |
| 11:00 | 王家生 | S8-O-7 海洋天然气水合物地质系统沉积物中自生矿物及其“将今论古”应用 |
| 11:20 | 苏新  | S8-O-8 南海北部陆坡晚更新世以来冷泉双壳群落             |

6月30日 下午

专题展板 13:30-14:30 中法中心负一层展厅

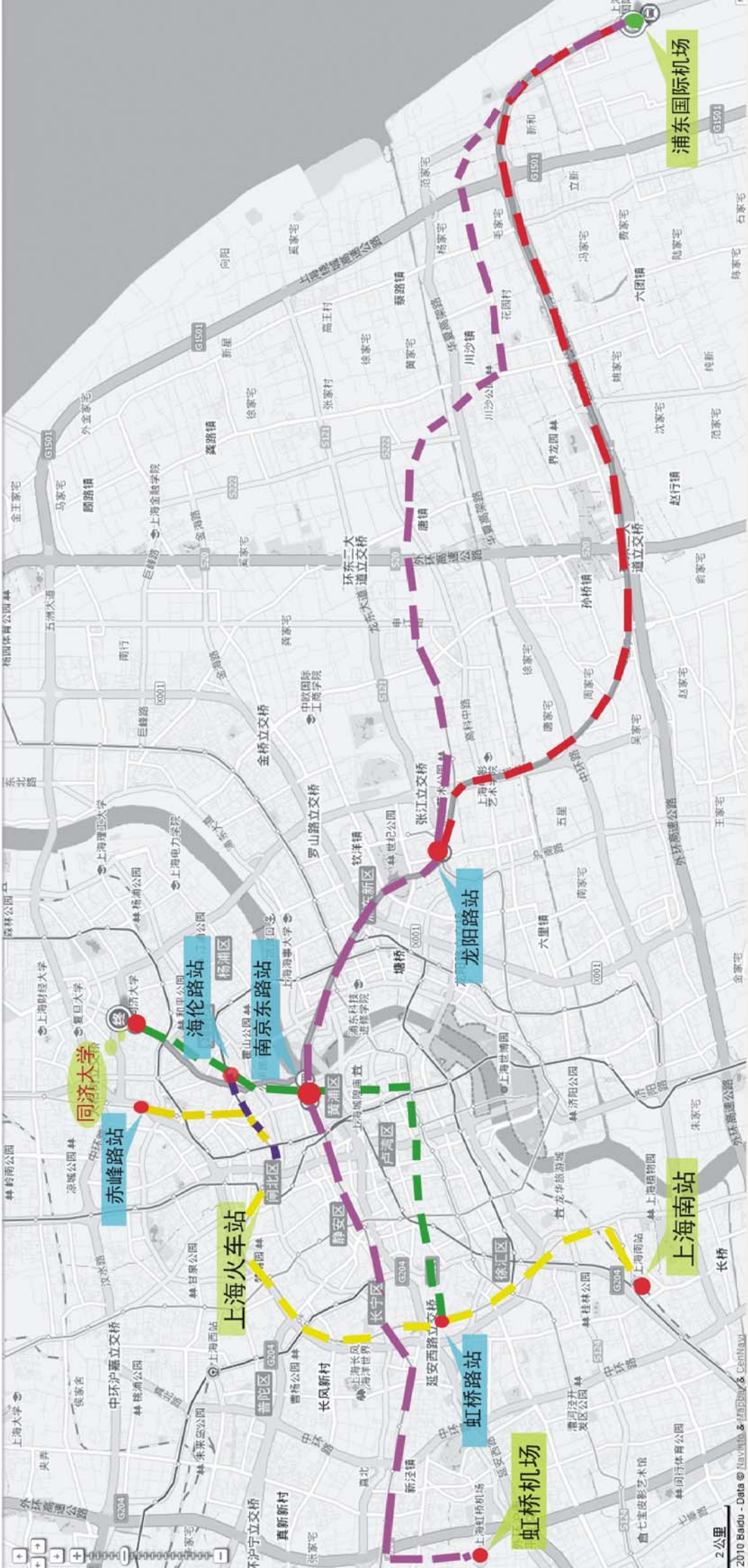
专题二 生命与环境的演变过程 13:30-14:30 主持人：王成善、董海良

|        |     |                        |
|--------|-----|------------------------|
| S2-P-1 | 曾荣树 | 中国南北纵谷带及其古人类生存环境       |
| S2-P-2 | 侯亚梅 | 中国早期人类技术圈层辐射的时空响应      |
| S2-P-3 | 袁宝印 | 新生代天文地质事件对地球系统和生物演化的影响 |

|   |     |   |
|---|-----|---|
| S2-P-4S                                     | 胡军  | 新元古代陡山沱组碳同位素负偏成因初探——以三峡泗溪剖面陡山沱组碳氧稳定同位素为例  |
| S2-P-6S                                     | 马莉燕 | 张家界天门山地区寒武系镍钼矿床地质地球化学特征及成因探讨  |
| S2-P-7S                                     | 王琛  | 贵州纳雍地区寒武系牛蹄塘组黑色岩系的生物标志物特征及意义  |
| S2-P-8S                                     | 王金祥 | 四川广元二叠纪栖霞组碳酸盐结核形成环境与成岩过程  |
| S2-P-9S                                     | 王舟  | 峡东新元古代“盖帽”碳酸盐岩中多期次甲烷渗漏事件的碳稳定同位素新证据  |
| 专题八 深海热液与天然气水合物 13:30-14:30 主持人：侯增谦、周怀阳、吴能友 |     |   |
| S8-P-1S                                     | 卞友艳 | 冷泉碳酸盐岩形成的氧化还原条件的变化：来自稀土元素的证据  |
| S8-P-2S                                     | 曹运诚 | 海底冷泉渗漏区流体通量与水合物成藏关系   |
| S8-P-3                                      | 陈志耕 | 海底可燃冰及海底油气资源的非生物成因、来源与储量  |
| S8-P-4S                                     | 邸鹏飞 | 海底冷泉渗漏区沉积物孔隙水S、Ca浓度特征变化及控制因素  |
| S8-P-5S                                     | 胡高伟 | 含水合物松散沉积物的声学特性模拟实验研究  |
| S8-P-6S                                     | 刘晨晖 | 海洋天然气水合物赋存区自生石膏成因及意义  |
| S8-P-7                                      | 栾锡武 | 浅表层天然气水合物基本特征与水合物的上界面   |
| S8-P-9S                                     | 杨阳  | 微生物在天然气水合物形成和分解过程中的作用   |
| S8-P-10                                     | 臧小亚 | 沉积物中纯扩散型水合物生成过程研究   |
| S8-P-11                                     | 张鑫  | Methane profiles in marine sediments observed in situ differ greatly from recovered cores   |
| S8-P-12                                     | 陈忠  | 南海白云凹陷泥火山发育区碳酸盐岩成因——新型冷泉标志？   |
| S8-P-13                                     | 关进安 | Fluid flow, methane transport, pore water anomalies and hydrate distribution in massive seafloor hydrate-bearing sediments at Shenhu area, the north slope of South China Sea |
| S8-P-14                                     | 郝树青 | 冻土带天然气水合物钻井液低温特性与井壁稳定作用机理研究   |
| S8-P-15                                     | 苏正  | Numerical investigation of gas production potential from Shenhu hydrate deposits and assessment on the production methods   |
| S8-P-16                                     | 王力峰 | 南海神狐海域地温场特征与天然气   |
| S8-P-17                                     | 王秀娟 | Gas hydrate occurrence, saturations and geophysical signatures associated with fluid flow in silt-dominated reservoirs, in the northern of South China Sea                    |
| S8-P-18                                     | 邬黛黛 | 东沙海域SMI与甲烷通量的相互关系及对下伏水合物赋存的指示   |
| S8-P-19                                     | 杨睿  | 南海北部神狐海域天然气水合物赋存带深度预测   |
| S8-P-20S                                    | 张勇  | 南海北部陆坡神狐海域HS-373岩心表层沉积物古菌多样性  |
| S8-P-21                                     | 周洋  | BY3孔含水合物层底栖有孔虫同位素组成与群落结构特征  |
| S8-P-22                                     | 冯东  | Seep carbonates from mussel and tubeworm environments at Atwater Valley, northern Gulf of Mexico  |
| S8-P-23                                     | 曾志刚 | 东太平洋海隆13°N附近热液硫化物中的元素、同位素组成及其变化   |
| S8-P-24                                     | 韩喜球 | 大洋第21航次第7航段西南印度洋脊调查成果介绍   |
| S8-P-25                                     | 郝云超 | Preliminary review on the inorganic geochemistry of the hydrothermal activities in and near the ocean ridge   |
| S8-P-26S                                    | 雷吉江 | 劳盆地热液羽状流颗粒物微区特征分析及指示意义  |
| S8-P-27                                     | 邱中炎 | 西南印度洋中脊49.2°E热液羽状流甲烷异常  |
| S8-P-28                                     | 武光海 | 深海原位电化学传感器在热液活动区探测中的应用  |
| S8-P-29S                                    | 杨小秋 | 印度洋北部海底热流测量   |
| S8-P-30S                                    | 张涛  | 西南印度洋中脊49.6度热液区：热点影响后的拆离断层？   |
| S8-P-32                                     | 方适宜 | 古深海热水沉积铀矿基本类型、识别标志及找矿意义   |
| S8-P-33                                     | 刘永刚 | 太平洋CC区及周边多金属结核分布及资源量预测  |
| S8-P-34                                     | 任向文 | 基于STELLA的富钴结壳Mn元素沉积的系统动力学模型初探   |
| S8-P-35                                     | 孙晓明 | 印度洋海岭热液区块状硫化物贵金属元素地球化学  |
| S8-P-36S                                    | 王叶剑 | 中印度洋脊Kairei热液区重晶石内的流体包裹体初步研究  |
| S8-P-37                                     | 杨群慧 | 特定海底热液活动区表层含金属沉积物中类脂生物标志物的特征  |

|                          |     |                                      |
|--------------------------|-----|--------------------------------------|
| S8-P-38                  | 姚会强 | EPR 9-10oN L喷口黑烟囱体硬石膏锶同位素和稀土元素地球化学特征 |
| S8-P-39                  | 於文辉 | 洋中脊构造应力场精细分析及其对海底块状硫化物矿床调查的意义        |
| S8-P-40                  | 何家雄 | 南海西北部莺歌海盆地泥底辟热流体活动与天然气运聚关系           |
| S8-P-41                  | 姜丽晶 | 西南印度洋中脊(SWIR)超慢速扩张区参与铁循环微生物的研究       |
| S8-P-42                  | 莫杰  | 深海热液成矿与生命起源                          |
| S8-P-43                  | 郭依群 | 白云坳陷海底滑坡内部沉积亚相的时空配置                  |
| S8-P-44                  | 陈芳  | 南海北部陆坡晚中新世以来的沉积与水合物成藏                |
| S8-P-45                  | 周蒂  | 深部含咸水地层：一种极具潜力的新资源                   |
|                          |     |                                      |
| 茶歇                       |     | 14:00-14:30 中法中心负一层展厅                |
|                          |     |                                      |
| 大会讨论 14:30-16:30 主持人：汪品先 |     | 逸夫楼一层报告厅                             |
| 14:30                    |     | 部分专题的召集人发言（学术总结及建议等）                 |
| 15:30                    |     | 重要学科交叉问题讨论，下一届会议举办方式讨论等              |
| 16:30                    |     | 会议结束                                 |





- 地铁2号线
- 地铁3号线
- 地铁4号线
- 地铁10号线
- 磁悬浮列车

### 上海火车站

- A. 地铁3号线至赤峰路站，转出租车. 约20元
- B. 地铁4号线至海伦路站，转地铁10号线至同济大学站. 约6元
- C. 出租车. 约40元

### 上海南站

- A. 地铁3号线至赤峰路站，转出租车. 约25元
- B. 地铁3号线至虹桥路站，转地铁10号线至同济大学站. 约8元
- C. 出租车. 约60元

### 虹桥机场

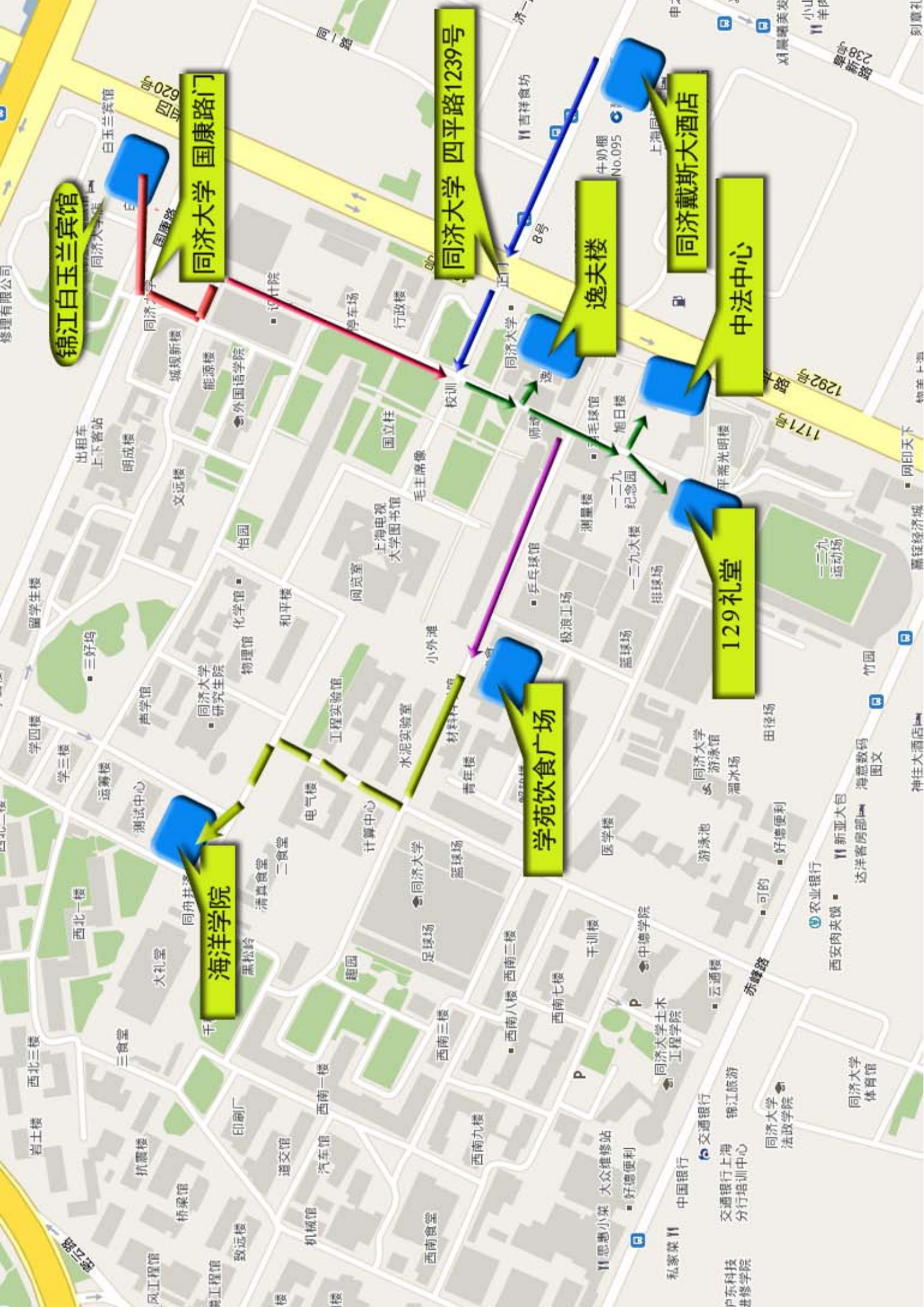
- A. 地铁2号线至南京东路站，转地铁10号线至同济大学站. 约10元
- B. 出租车. 约90元

### 浦东机场

- A. 磁悬浮列车至龙阳路站，转地铁2号线至南京东路站，转地铁10号线至同济大学站. 约60元
- B. 地铁2号线至南京东路站，转地铁10号线至同济大学站. 约10元
- C. 出租车. 约140元

注：地铁10号线运营时间为9点至16点。





锦江白玉兰宾馆

同济大学 国康路门

同济大学 四平路1239号

逸夫楼

同济大学戴斯大酒店

中法中心

129礼堂

学苑饮食广场

海洋学院

白玉兰宾馆

同济大学

国康路

逸夫楼

逸夫楼

逸夫楼

逸夫楼

逸夫楼

逸夫楼

逸夫楼

逸夫楼

逸夫楼

逸夫楼

逸夫楼

逸夫楼

逸夫楼

逸夫楼

同济大学

国康路

逸夫楼

逸夫楼

逸夫楼

逸夫楼

逸夫楼

逸夫楼

逸夫楼

逸夫楼

逸夫楼

逸夫楼

逸夫楼

逸夫楼

逸夫楼

逸夫楼

逸夫楼

逸夫楼

同济大学

国康路

逸夫楼

逸夫楼

逸夫楼

逸夫楼

逸夫楼

逸夫楼

逸夫楼

逸夫楼

逸夫楼

逸夫楼

逸夫楼

逸夫楼

逸夫楼

逸夫楼

逸夫楼

逸夫楼

同济大学

国康路

逸夫楼

逸夫楼

逸夫楼

逸夫楼

逸夫楼

逸夫楼

逸夫楼

逸夫楼

逸夫楼

逸夫楼

逸夫楼

逸夫楼

逸夫楼

逸夫楼

逸夫楼

逸夫楼

同济大学

国康路

逸夫楼

逸夫楼

逸夫楼

逸夫楼

逸夫楼

逸夫楼

逸夫楼

逸夫楼

逸夫楼

逸夫楼

逸夫楼

逸夫楼

逸夫楼

逸夫楼

逸夫楼

逸夫楼

同济大学

国康路

逸夫楼

逸夫楼

逸夫楼

逸夫楼

逸夫楼

逸夫楼

逸夫楼

逸夫楼

逸夫楼

逸夫楼

逸夫楼

逸夫楼

逸夫楼

逸夫楼

逸夫楼

逸夫楼

同济大学

国康路

逸夫楼

逸夫楼

逸夫楼

逸夫楼

逸夫楼

逸夫楼

逸夫楼

逸夫楼

逸夫楼

逸夫楼

逸夫楼

逸夫楼

逸夫楼

逸夫楼

逸夫楼

逸夫楼

同济大学

国康路

逸夫楼

逸夫楼

逸夫楼

逸夫楼

逸夫楼

逸夫楼

逸夫楼

逸夫楼

逸夫楼

逸夫楼

逸夫楼

逸夫楼

逸夫楼

逸夫楼

逸夫楼

逸夫楼



展板区域(中法中心负一层)内部分展区示意图

